

Rendszer és Irányítástechnika Házi Feladat

Kovács Hunor Ádám

P953MO

Paraméterek:

$$\vartheta_0: 6[V]; \vartheta_1: 1251,64 \left[\frac{V}{rad} \right]; \vartheta_2: 60[^\circ]; \vartheta_3: 10[\%]; \vartheta_4: 10[\%]; \vartheta_5: 5[ms]$$



M Ű E G Y E T E M 1 7 8 2

Tartalomjegyzék:

Motor Paraméterei	3
1. Feladat: Dinamikai modell	4
a) Feszültség – szögsebesség átviteli függvény	4
b) Állapottér modell	4
c) Az időállandók és a statikus erősítés	5
d) A szögsebesség időfüggvénye	6
2. Feladat: PD pozíciószabályozás analízise	6
a) Felnyitott kör frekvenciaátviteli függvénye	6
b) Vágási körfrekvencia és fázistartalék	7
c) Felnyitott kör Bode-diagramja	8
3. Feladat: PI szabályozó tervezése	9
a) Zárt szabályozási lánc átviteli függvénye és karakterisztikus polinomja	9
b) Zárt szabályozási lánc stabilitása	9
c) A felnyitott kör frekvenciaátviteli függvénye	9
d) P erősítési tényező értéke $\vartheta_2 = 60$ [°] fázistartalék esetén	10
e) Felnyitott kör Bode-diagramja, zárt szabályozási lánc válasza névleges szögsebesség esetén	10
4. Feladat: Állapotviszacsatolás tervezése	12
a) Pólusallokációhoz használt pólusok	12
b) A rendszer irányíthatósági kanonikus alakja	12
c) K mátrix és ellenőrzése	13
d) Visszacsatolástól függő- és független alapjelkompenzáció	14
e) Zárt szabályozási kör ugrásválasza	15
Melléklet:	16
MATLAB kód:	16

Motor Paraméterei

A megadott névleges feszültség $u_n = 6 [V]$ (ϑ_0), ez alapján a választott motor paraméterei:

Név	Jelölés	Katalógus Dimenzió	SI Egység
Armatúra ellenállás	R_a	0,454 $[\Omega]$	0,454 $[\Omega]$
Armatúra induktivitás	L_a	0,06 $[mH]$	$6 \cdot 10^{-5} [H]$
Nyomatékállandó	k_m	11,6 $\left[\frac{mNm}{A}\right]$	$1,16 \cdot 10^{-2} \left[\frac{Nm}{A}\right]$
Sebességállandó	k_s	825 $\left[\frac{rpm}{V}\right]$	86,394 $\left[\frac{rad}{sV}\right]$
Forgórész tehetetlenségi nyomatéka	J_r	44,2 $[gcm^2]$	$4,42 \cdot 10^{-6} [kgm^2]$
Névleges szögsebesség	ω_n	3400 $[rpm]$	356,047 $\left[\frac{rad}{s}\right]$
Névleges áramerősség	i_n	44,5 $[mA]$	$4,45 \cdot 10^{-2} [A]$

táblázat 1: Paraméterek

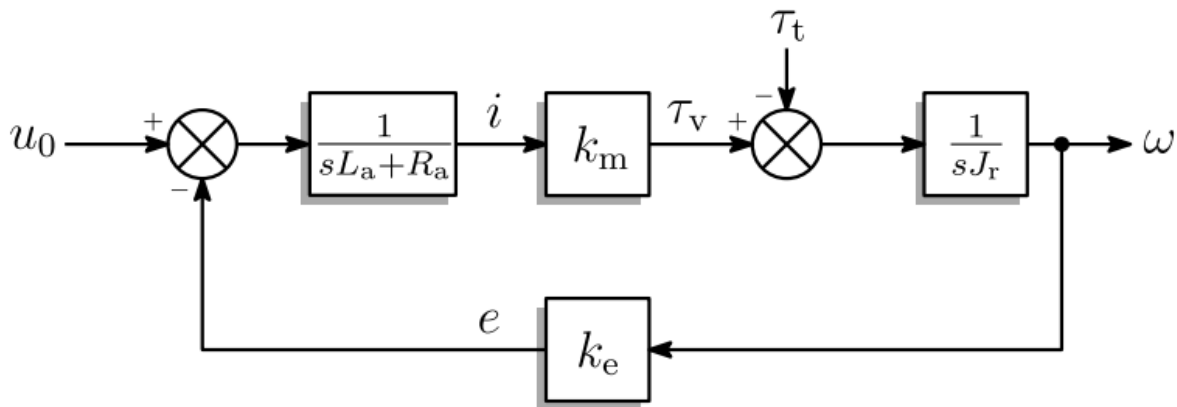
1. Feladat: Dinamikai modell

a) Feszültség – szögsebesség átviteli függvény

A hatásvázlatból kiolvastva a következő módon tudjuk felírni:

$$W_{u-\omega}(s) = \frac{W_v \cdot W_p}{1 + W_o} = \frac{W_v \cdot W_p}{1 + W_v \cdot W_p \cdot W_c} = \frac{\frac{1}{s \cdot L_a + R_a} \cdot k_m \frac{1}{s \cdot J_r}}{1 + \frac{1}{s \cdot L_a + R_a} \cdot k_m \frac{1}{s \cdot J_r} \cdot k_e} = \quad (1)$$

$$= \frac{k_m}{J_r \cdot L_a \cdot s^2 + J_r \cdot R_a \cdot s + k_m \cdot k_e} = \frac{116}{2,652 \cdot 10^{-6} \cdot s^2 + 0,0201 \cdot s + 1,3427}$$



ábra 1: A hatásvázlat

b) Állapottér modell

A motor, és így a rendszer két alapegyenlete:

$$u_0 = R_a i + L_a \frac{di}{dt} + k_e \omega \quad (2)$$

És:

$$J_r \frac{d\omega}{dt} = k_m i - \tau_t \quad (3)$$

A két állapotváltozó deriváltjaira rendezve:

$$\frac{di}{dt} = \frac{1}{L_a} u_0 - \frac{R_a}{L_a} i - \frac{k_e}{L_a} \omega \quad (4)$$

És:

$$\frac{d\omega}{dt} = \frac{k_m}{J_r} i - \frac{1}{J_r} \tau_t \quad (5)$$

Ez alapján az állapotváltozók szerint fel tudjuk írni az állapotter modellt paraméteresen,

$$\begin{bmatrix} i(t) \\ \dot{\omega}(t) \end{bmatrix} = \begin{bmatrix} -\frac{R_a}{L_a} - \frac{k_e}{L_a} & \frac{1}{L_a} \\ \frac{k_m}{J_r} & 0 \end{bmatrix} \cdot \begin{bmatrix} i(t) \\ \omega(t) \end{bmatrix} + \begin{bmatrix} \frac{1}{L_a} \\ 0 \end{bmatrix} \cdot u_0(t) \quad (6)$$

$$y(t) = [0 \quad 1] \begin{bmatrix} i(t) \\ \omega(t) \end{bmatrix} + 0 \cdot u_0(t) \quad (7)$$

És numerikusan:

$$\begin{bmatrix} i(t) \\ \dot{\omega}(t) \end{bmatrix} = \begin{bmatrix} -7566,7 & -192,9 \\ 2624,4 & 0 \end{bmatrix} \cdot \begin{bmatrix} i(t) \\ \omega(t) \end{bmatrix} + \begin{bmatrix} 1666,7 \\ 0 \end{bmatrix} \cdot u_0(t) \quad (8)$$

$$y(t) = [0 \quad 1] \begin{bmatrix} i(t) \\ \omega(t) \end{bmatrix} + 0 \cdot u_0(t) \quad (9)$$

c) Az időállandók és a statikus erősítés

A rendszer erősítése a végértéktétel alapján:

$$A = W_{U_0 \rightarrow \Omega_m}(s) \cdot s \cdot \frac{1}{s} = \frac{k_m}{J_r L_a s^2 + J_r R_a s + k_m k_e} = \frac{1}{k_e} = 86,394 \left[\frac{\text{rad}}{\text{sV}} \right] \quad (10)$$

Az átviteli függvény pólusai:

$$p(s) = L_a \cdot J_r \cdot s^2 + R_a \cdot J_r \cdot s + k_m k_e = (s + 7499,2)(s + 67,5) = 0 \quad (11)$$

A (11)-es egyenlet gyökei a pólusok, az időállandók pedig ezek inverzeinek (-1)-szeresei.

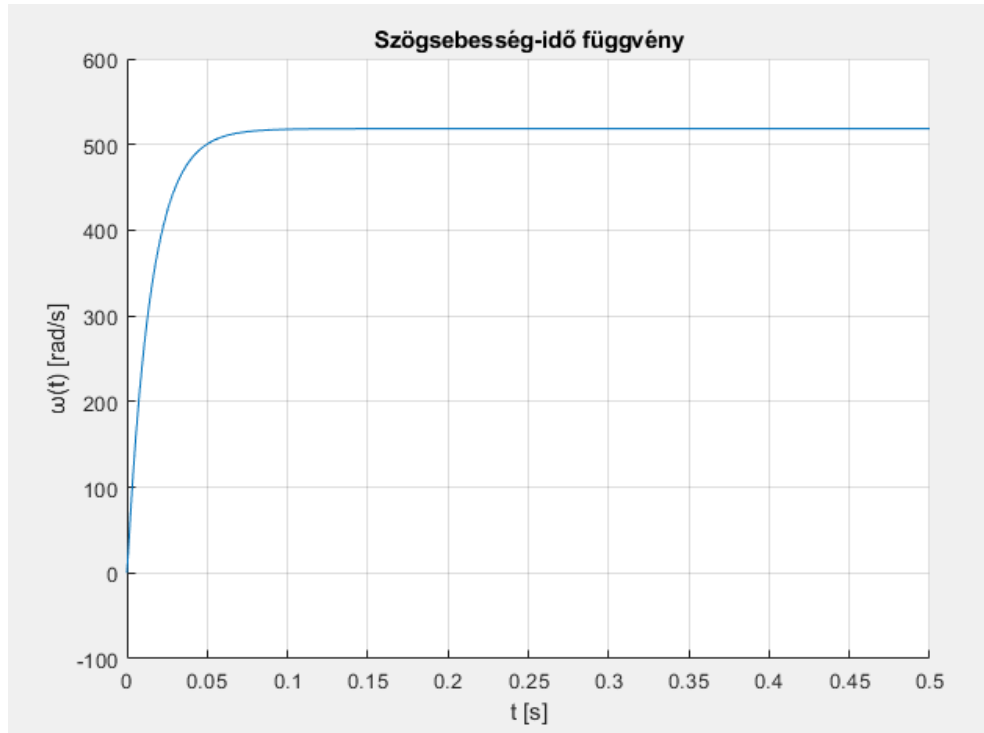
$$T_1 = 0,0148[s] \quad (12)$$

$$T_2 = 0,000133[s] \quad (13)$$

d) A szögsebesség időfüggvénye

Az a) feladatban meghatározott átviteli függvényt (1) parciális törtekre bontásával majd inverz Laplace-transzformálásával az alábbi szögsebesség-idő függvényt kapjuk meg:

$$\omega(t) = -523,07 \cdot e^{-67,51t} + 4,71 \cdot e^{-7499,2t} + 518,36 \cdot e^{0t} \quad (14)$$



ábra 2: A szögsebesség idő átviteli függvény

2. Feladat: PD pozíciószabályozás analízise

a) Felnyitott kör frekvenciaátviteli függvénye

A felnyitott kör frekvenciaátviteli függvényéhez PD szabályozóra és a szakasz átviteli függvényére lesz szükségünk.

Az ideális PD szabályozó:

$$W_c(s) = P \cdot (1 + T_D \cdot s) \quad (15)$$

A szabályozott szakasz átviteli függvénye:

$$W_p(s) = W(s) = \frac{k_m}{J_r L_a s^2 + J_r R_a s + k_m k_e} = \frac{k_m}{\left(s + \frac{1}{T_1}\right) \cdot \left(s + \frac{1}{T_2}\right) \cdot L_a \cdot J_r} \quad (16)$$

A felnyitott kör a (15) PD szabályozó és a (16) szabályozott kör átviteli függvényének szorzataként kapható meg:

$$W_o(s) = W_c(s) \cdot W_p(s) = P \cdot (1 + T_D \cdot s) \cdot \frac{k_m}{\left(s + \frac{1}{T_1}\right) \cdot \left(s + \frac{1}{T_2}\right) \cdot L_a \cdot J_r} \quad (17)$$

A pólus-zérus kiejtést alkalmazva, valamint $T_1 = T_D$ feltétel mellett:

$$W_o(s) = \frac{k_m \cdot P \cdot T_1}{\left(\frac{1}{T_2} + s\right) \cdot L_a \cdot J_r} \quad (18)$$

Ha az $s = j\omega$ formális behelyettesítést is végrehajtjuk, megkapjuk a felnyitott kör frekvenciaátviteli függvényének végleges alakját:

$$W_o(j\omega) = \frac{k_m \cdot P \cdot T_1}{\left(\frac{1}{T_2} + j\omega\right) \cdot L_a \cdot J_r} \quad (19)$$

b) Vágási körfrekvencia és fázistartalék

Az erősítés megadott érték: $P = \vartheta_1 = 1251,64 \left[\frac{V}{rad}\right]$

A vágási körfrekvencia esetén a rendszer erősítése zérus, így:

$$|W_o(j\omega)| = \sqrt{\frac{(k_m P T_1)^2}{\left(\frac{L_a J_r}{T_2} + j\omega_c L_a J_r\right)^2}} = 1 \quad (20)$$

Az egyenletet átrendezve kijön a vágási körfrekvencia:

$$\omega_c = 27987 \left[\frac{rad}{s}\right] \quad (21)$$

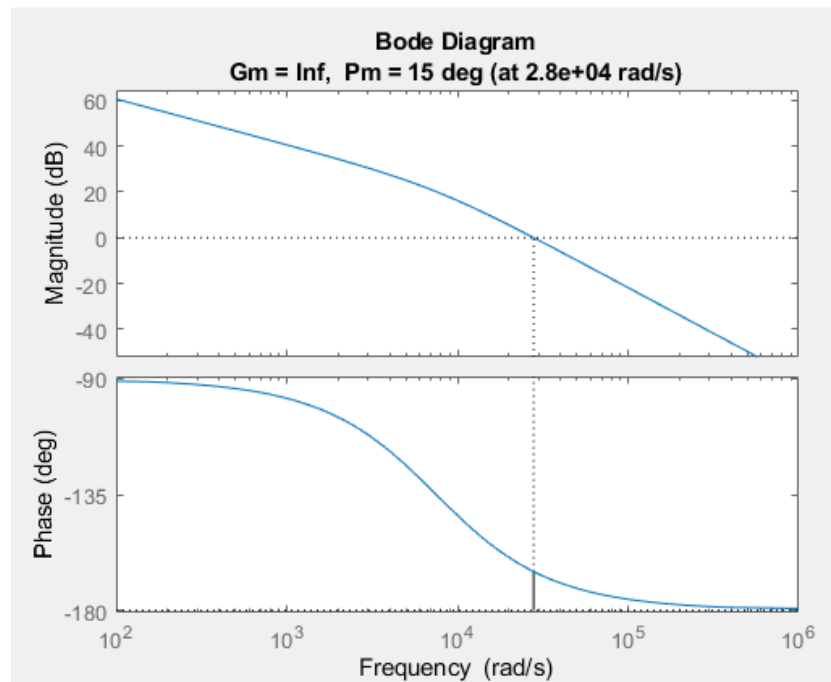
A fázistartalék az az érték, amivel fázisfüggvény vágási körfrekvenciánál felvett értéke 180° -ot ad.

$$\varphi(\omega) = -\frac{\pi}{2} - \arctan(T_2 \cdot \omega) \quad (22)$$

$$\varphi_t = \pi - \frac{\pi}{2} - \arctan(T_2 \cdot \omega) = 15 [^\circ] \quad (23)$$

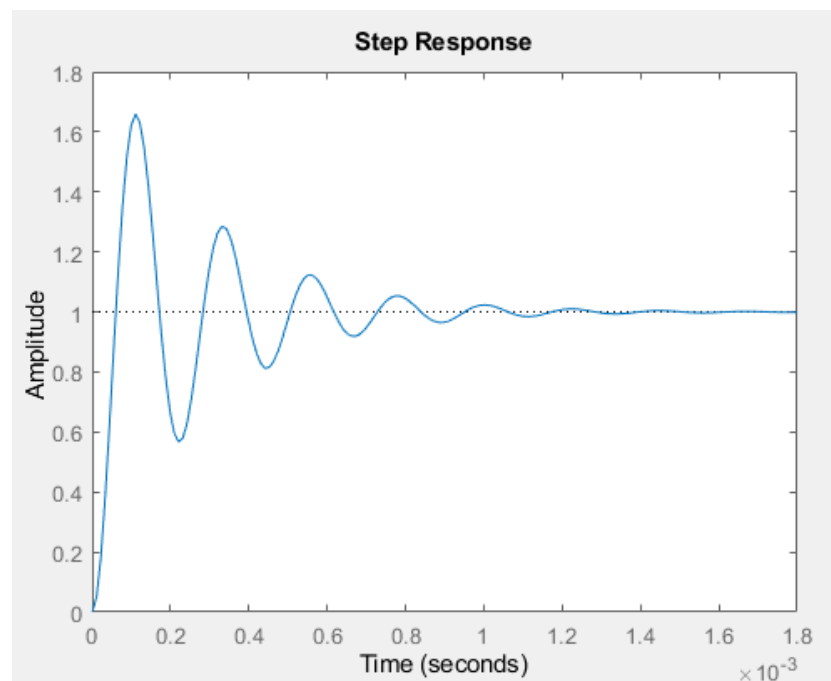
c) Felnyitott kör Bode-diagramja

A körfrekvencia, és a fázistartalék fekete vonallal jelölve a Bode-diagrammon:



ábra 3: Felnyitott kör Bode-diagramja

A zárt szabályozási lánc ugrásválasza:



ábra 4: Zárt szabályozási lánc ugrásválasza

3. Feladat: PI szabályozó tervezése

a) Zárt szabályozási lánc átviteli függvénye és karakterisztikus polinomja

A szakasz átviteli függvénye, időállandói már korábban kifejtve lettek a (12)-es, (13)-as és (16)-os egyenletekben.

A PI szabályozó átviteli függvénye:

$$W_c(s) = p \cdot \frac{1 + T_I \cdot s}{T_I \cdot s} \quad (24)$$

Ha a pólus-zérus kiejtést alkalmazzuk, és a $T_1 = T_I$ feltétel érvényesül, a nyitott lánc átviteli függvénye:

$$W_o(s) = W_c(s) \cdot W_p(s) = \frac{P \cdot k_m}{L_a \cdot J_r \cdot s \left(s + \frac{1}{T_2} \right)} \quad (25)$$

A zárt lánc átviteli függvénye pedig:

$$W_{cl}(s) = \frac{W_o(s)}{1 + W_o(s)} = \frac{1}{\frac{L_a \cdot J_r}{P \cdot k_m} \cdot s^2 + \frac{L_a \cdot J_r}{T_2 \cdot P \cdot k_m} \cdot s + 1} \quad (26)$$

És így a karakterisztikus polinom:

$$\tilde{p}(s) = \frac{L_a \cdot J_r}{P \cdot k_m} \cdot s^2 + \frac{L_a \cdot J_r}{T_2 \cdot P \cdot k_m} \cdot s + 1 = 0 \quad (27)$$

b) Zárt szabályozási lánc stabilitása

A zárt szabályozási lánc abban az esetben lesz stabil, ha a karakterisztikus polinom együtthatói nagyobbak mint 0. Jelen polinom esetén ez akkor fog bekövetkezni, ha P nagyobb mint 0, mivel az összes paraméter pozitív. Ezáltal $P_{min} = 0$.

c) A felnyitott kör frekvenciaátviteli függvénye

A (25)-ös számú egyenletben már meghatározásra került a nyitott lánc átviteli függvénye, már csak a $s = j\omega$ formális behelyettesítést még el kell végezni.

$$W_o(j\omega) = \frac{P \cdot k_m}{L_a \cdot J_r \cdot j\omega \left(j\omega + \frac{1}{T_2} \right)} \quad (28)$$

d) P erősítési tényező értéke $\vartheta_2 = 60 [^\circ]$ fázistartalék esetén

Fázismenet:

$$\varphi(\omega) = -\frac{\pi}{2} - (T_2 \cdot \omega) \quad (29)$$

Fázistartalék:

$$\varphi_t = \pi - \varphi(\omega) = \pi - \frac{\pi}{2} - (T_2 \cdot \omega) \quad (30)$$

Ebből meghatározható a vágási körfrekvencia:

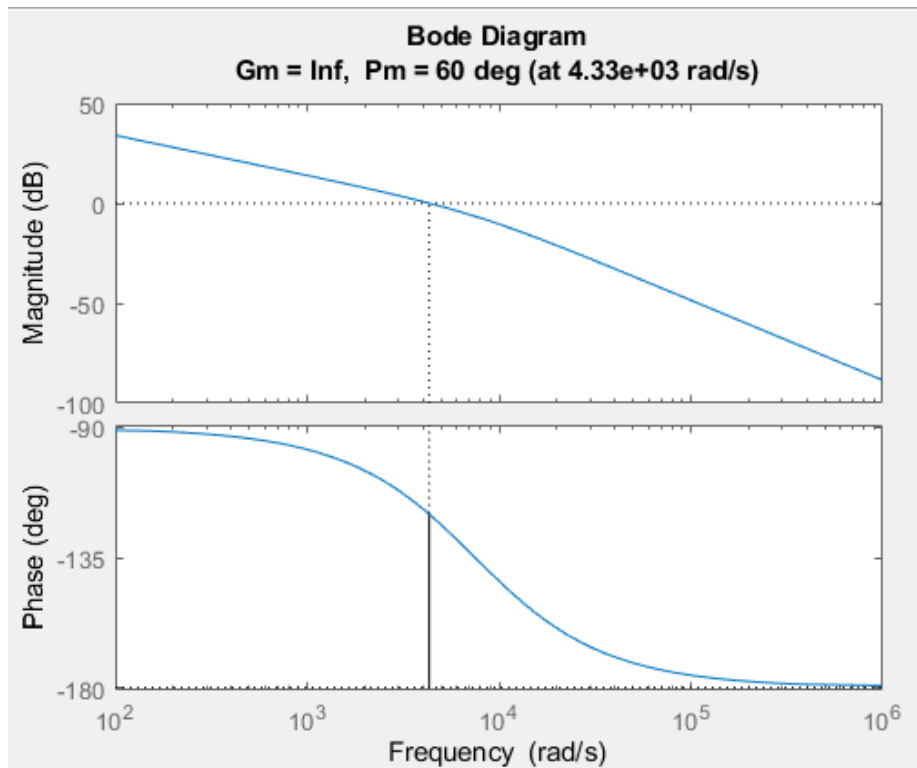
$$\omega_c = 4329,6 \left[\frac{rad}{s} \right] \quad (31)$$

A vágási frekvencia esetén a rendszer erősítése zérus, ezért a keresett erősítés értéke a következő módon határozható meg:

$$P = \frac{L_a \cdot J_r \cdot \sqrt{T_2^2 \cdot \omega_c^2 + \omega_c^2}}{k_m T_2} = 0,8571 \left[\frac{V}{rad} \right] \quad (32)$$

e) Felnyitott kör Bode-diagramja, zárt szabályozási lánc válasza névleges szögsebesség esetén

A felnyitott kör Bode-diagramja:

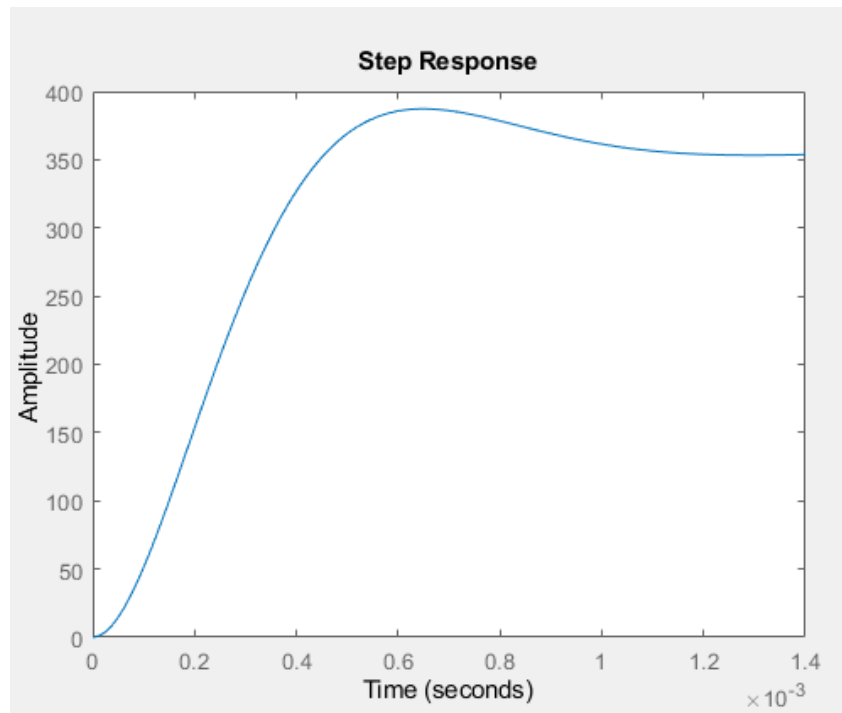


ábra 5: A felnyitott kör Bode-diagramja névleges szögsebességre.

A zárt lánc (26)-os átviteli függvénye alapján, a végértéktétellel a következőt kapjuk:

$$\omega(\infty) = s \cdot W_{cl} \cdot \omega_0 \cdot \frac{1}{s} = \omega_0 \cdot \frac{1}{\frac{L_a \cdot J_r}{P \cdot k_m} \cdot s^2 + \frac{L_a \cdot J_r}{T_2 \cdot P \cdot k_m} \cdot s + 1} = 356,047 \left[\frac{rad}{s} \right] \quad (33)$$

A zárt lánc válasza névleges szögsebesség rákapcsolása esetén:



ábra 6: Zárt lánc névleges szögsebesség válasza

4. Feladat: Állapotviszacsatolás tervezése

a) Pólusallokációhoz használt pólusok

A pólusokat a túllövés és a beállási idő egyenleteiből tudjuk meghatározni. A két egyenletből a ζ valamint az ω_n értékeit kapjuk meg, a feladatban megadott adatok alapján: $\Delta v = \vartheta_3 = 10\%$ és $T_{\vartheta_4\%} = T_{10\%} = \vartheta_5 = 0,005$ [s].

A százalékos túllövés:

$$\Delta v = 10\% = 100 \cdot e^{-\frac{\zeta \cdot \pi}{\sqrt{1-\zeta^2}}} \quad (34)$$

Ez alapján ζ :

$$\zeta = \sqrt{\frac{\ln^2 0,1}{\pi^2 + \ln^2 0,1}} = 0,5912 [-] \quad (35)$$

A beállási idő:

$$T_{10\%} = 0,0015 = \frac{1}{\zeta \cdot \omega_n} \ln\left(\frac{100}{10}\right) \quad (36)$$

És így az ω_n :

$$\omega_n = \frac{1}{\zeta \cdot T_{10\%}} \ln 10 = 779,0123 \left[\frac{rad}{s} \right] \quad (37)$$

Ezek alapján a pólusok:

$$p_{1,2} = -\zeta \cdot \omega_n \pm j \cdot \omega_n \cdot \sqrt{1 - \zeta^2} = -460,517 \pm 628,319 \cdot i \left[\frac{rad}{s} \right] \quad (38)$$

b) A rendszer irányíthatósági kanonikus alakja

A rendszer állapottér modellje, melyet a (8)-as és (9)-es egyenletben írtunk le:

$$\begin{bmatrix} i(t) \\ \dot{\omega}(t) \end{bmatrix} = \begin{bmatrix} -7566,7 & -192,9 \\ 2624,4 & 0 \end{bmatrix} \cdot \begin{bmatrix} i(t) \\ \omega(t) \end{bmatrix} + \begin{bmatrix} 1666,7 \\ 0 \end{bmatrix} \cdot u_0(t) \quad (39)$$

$$y(t) = \begin{bmatrix} 0 & 1 \end{bmatrix} \begin{bmatrix} i(t) \\ \omega(t) \end{bmatrix} + 0 \cdot u_0(t) \quad (40)$$

Az irányíthatósági mátrix egy két állapotváltozóval rendelkező rendszerre, és invertáltja:

$$\mathbf{M}_c = [\mathbf{B} | \mathbf{A}\mathbf{B}] = \begin{bmatrix} 1666,7 & -1,2611 \cdot 10^8 \\ 0 & 4,3741 \cdot 10^7 \end{bmatrix} \quad (41)$$

$$\mathbf{M}_c^{-1} = \begin{bmatrix} 6 \cdot 10^{-5} & 1,7299 \cdot 10^{-4} \\ 0 & 2,2862 \cdot 10^{-8} \end{bmatrix} \quad (42)$$

Ezek után az $\tilde{\mathbf{M}}_c$ mátrixot fejezzük ki, melyhez az irányíthatósági kanonikus alak mátrixaira van szükségünk, melyek a megfigyelhetőségi mátrixok transzponáltjaival egyenlők.

$$\mathbf{A}_c = \mathbf{A}^T = \begin{bmatrix} -7566,7 & 2624,4 \\ -129,9 & 0 \end{bmatrix} \quad (43)$$

$$\mathbf{B}_c = \begin{bmatrix} 0 \\ 1 \end{bmatrix} \quad (44)$$

Így már meg tudjuk határozni az irányíthatósági mátrixot:

$$\tilde{\mathbf{M}}_c = [\mathbf{B}_c | \mathbf{A}_c \mathbf{B}_c] \quad (45)$$

És így már meg tudjuk határozni a transzformációs mátrixot:

$$\mathbf{T} = \tilde{\mathbf{M}}_c \cdot \mathbf{M}_c^{-1} = \begin{bmatrix} 0 & 2,286 \cdot 10^{-8} \\ 6 \cdot 10^{-5} & 0 \end{bmatrix} \quad (46)$$

A \mathbf{C}_c mátrixot a transzformációs mátrix segítségével a következő képpen tudjuk meghatározni:

$$\mathbf{C}_c = \mathbf{C} \cdot \mathbf{T}^{-1} = \begin{bmatrix} 4,3741 \cdot 10^7 \\ 0 \end{bmatrix} \quad (47)$$

Így a rendszer irányíthatósági kanonikus alakja:

$$\begin{bmatrix} \dot{x}(t) \\ \ddot{x}(t) \end{bmatrix} = \begin{bmatrix} -7566,7 & -192,9 \\ 2624,4 & 0 \end{bmatrix} \cdot \begin{bmatrix} x(t) \\ \dot{x}(t) \end{bmatrix} + \begin{bmatrix} 1666,7 \\ 0 \end{bmatrix} \cdot u_0(t) \quad (48)$$

$$y(t) = [0 \quad 1] \begin{bmatrix} x(t) \\ \dot{x}(t) \end{bmatrix} + 0 \cdot u_0(t) \quad (49)$$

c) \mathbf{K} mátrix és ellenőrzése

A szabályozó \mathbf{K} mátrixának meghatározásához először a 4. a) feladatrészen meghatározott pólusokból kell létrehozni az $\tilde{\mathbf{A}}$ mátrixot.

$$\tilde{p}(s) = (s - p_1) \cdot (s - p_2) = s^2 - 921,034 \cdot s - 6,069 \cdot 10^5$$

$$\tilde{\mathbf{A}} = \begin{bmatrix} 0 & a_2 \\ a_0 & a_1 \end{bmatrix} = \begin{bmatrix} 0 & 1 \\ -6,069 \cdot 10^5 & -921,034 \end{bmatrix} \quad (50)$$

Az irányíthatósági kanonikus alak mátrixokkal meghatározható a \mathbf{K}_c mátrix:

$$\tilde{\mathbf{A}} = \mathbf{A}_c - \mathbf{B}_c \cdot \mathbf{K}_c \quad (51)$$

$$\mathbf{K}_c = [1,001 \cdot 10^5 \quad -6645,6] \quad (52)$$

A transzformációs mátrix segítségével pedig vissza tudjuk transzformálni a mátrixot az eredeti állapotterbe.

$$\mathbf{K} = \mathbf{K}_c \cdot \mathbf{T} = [-0,3987 \quad 0,00023] \quad (53)$$

Ezt a MATLAB segítségével az Ackermann-formulával is le tudjuk ellenőrizni, a következő képpen:

`K=acker(A, B, [p_1 p_2])`

kódrésszel, ahol A és B az eredeti állapotter mátrixait, valamint a két pólust használjuk fel.

Az eredmény:

```
K =  
-0.3987    0.0023
```

ábra 7: Ackermann ellenőrzés eredménye

Amint látjuk a két érték megegyezik, így az ellenőrzés sikeres volt.

d) Visszacsatolástól függő- és független alapjelkompenzáció

A statikus alapjelkompenzációhoz szükséges \mathbf{K}_r a következő módon adódik:

$$\mathbf{K}_r = -(\mathbf{C}_c \cdot \tilde{\mathbf{A}}^{-1} \cdot \mathbf{B}_c^T)^{-1} = 0.0139 \quad (54)$$

Dinamikus alapjelkompenzáció esetén \mathbf{K}_{rx} és \mathbf{K}_{ru} értékét az alábbi módszerrel számoljuk:

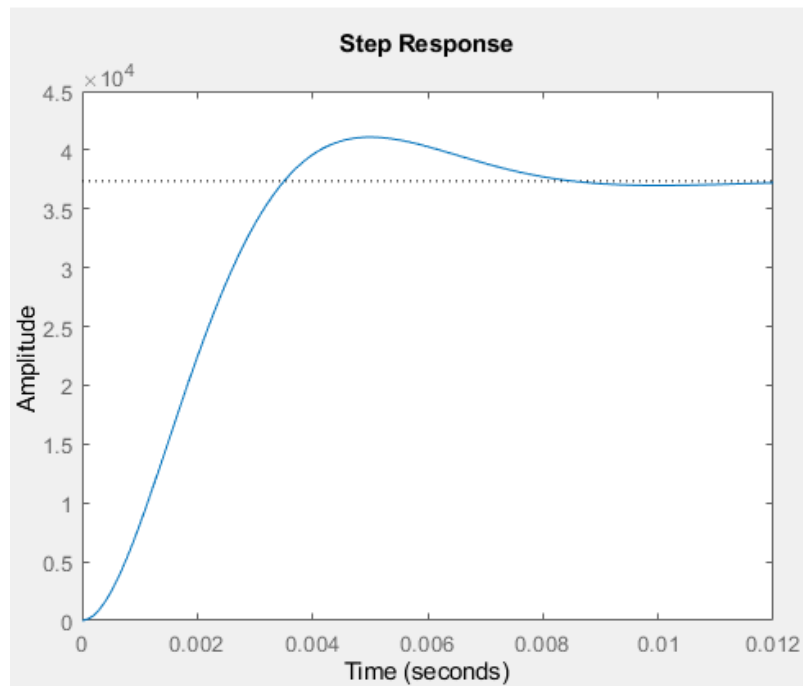
$$[\mathbf{K}_{rx} \quad \mathbf{K}_{ru}] = [\mathbf{A} \quad \mathbf{B} \quad \mathbf{C} \quad \mathbf{0}]^{-1} \cdot [\mathbf{0} \quad \mathbf{I}]$$

Ebből kiszámolva a két mátrixot:

$$\mathbf{K}_{rx} = [0 \quad 1] \quad (55)$$

$$\mathbf{K}_{ru} = 0,0116 \quad (56)$$

e) Zárt szabályozási kör ugrásválasza



ábra 8: Zárt szabályozási kör ugrásválasza

Melléklet:

MATLAB kód:

```
clc
clear

R_a=0.454;
L_a=0.00006;
k_m=0.0116;
k_s = 86.394;
k_e=1/k_s;
J_r=0.00000442;
w_n=356.047;
i_n=0.0445;
teta_0=6;
teta_1=1251.64;
teta_2=60;
teta_3=10;
teta_4=10;
teta_5=5;

s=tf('s');

%1. feladat
A=[-R_a/L_a -k_e/L_a;k_m/J_r 0];
B=[1/L_a;0];
C=[0 1];
D=[0];
H_ss=ss(A,B,C,D);
H=tf(H_ss);
w=pole(H_ss);
T12=-1./w;
T12=sort(T12,'descend');
A_r=1/k_e;
U_s=teta_0/s;
omega_s=zpk(H*U_s);
[zero,k]=zero(omega_s);
p=pole(omega_s);

g_1=k/((p(1)+-p(2))*(p(1)+-p(3)));
g_2=k/((p(2)+-p(1))*(p(2)+-p(3)));
g_3=k/((p(3)+-p(2))*(p(3)+-p(1)));
figure;
hold on
fplot(@(t) g_1*exp(p(1)*t)+g_2*exp(p(2)*t)+g_3*exp(p(3)*t),[0 0.5]);
title('Szögsebesség-idő függvény');
xlabel('t [s]');
ylabel('ω(t) [rad/s]');
grid on;

%2. feladat
P=teta_1;
n=0.1;
H_2=P*k_m*T12(1)/(s*(s+1/T12(2))*L_a*J_r);
[gm,phi_m,wcg,w_c] = margin(H_2);
```



```
figure;
hold on;
margin(H_2);
figure;
hold on;
H_3=minreal(H_2/(1+H_2));
step(H_3);

%3. feladat
syms P_2 w_c2;
P_min=0;
T_1_T_2=T12(1)*T12(2);
Phi_t=deg2rad(teta_2);
w_c2=double(solve(Phi_t==pi/2-atan(w_c2*T12(2)),w_c2));
P_2=double(solve(1==abs((P_2*k_m/L_a/J_r)/(1i*w_c2*(1i*w_c2+1/T12(2)))),P_2));
H_4= (P_2*k_m/L_a/J_r)/(s*(s+1/T12(2)));
figure;
hold on;
margin(H_4);
H_5=minreal(H_4/(1+H_4)*w_n/s);
figure;
hold on;
step(H_5*s);
y_inf=H_5.Numerator{1,1}(1,4)/H_5.Denominator{1,1}(1,3);

%4. feladat
dv=teta_3/100;
t_pct=teta_5/1000;
pct=teta_4;
syms beta w_d;
beta=double(solve(t_pct==1/beta*log(100/pct),beta));
w_d=double(solve(dv==exp(-beta*pi/w_d),w_d));
p_1=-beta+w_d*1i;
p_2=-beta-w_d*1i;

zeta=-real(p_1)/abs(p_1);
w_n=beta/zeta;

A_c=[0 1; -k_m*k_e/(L_a*J_r) -R_a/L_a];
B_c=[0;1];
C_c=[k_m/L_a/J_r 0];
D_c=[0];

H_ss2=ss(A_c,B_c,C_c,D_c);
syms s K_c
alfa_s=sym2poly((s-p_1)*(s-p_2));
A_tau=[0 alfa_s(1);-alfa_s(3) -alfa_s(2)];
K_c=(A_c-A_tau);
K_c=[K_c(2,1) K_c(2,2)];
M_c=[H_ss.B H_ss.A*H_ss.B];
M_cI=M_c^-1;
M_ctau=[B_c A_c*B_c];
T=M_ctau*M_cI;
K1=K_c*T;
K=acker(H_ss.A, H_ss.B, [p_1 p_2]);

K_r=-(C_c*A_tau^-1*B_c)^-1;
HipM_1=[H_ss.A H_ss.B;H_ss.C 0];
HipM_2=[0;0;1];
```

```
Krxu=HipM_1\HipM_2;  
Krx=[Krxu(1);Krxu(2)];  
Kru=Krxu(3);  
s=tf('s');  
u_n=teta_0;  
omega_0=u_n/k_e;  
  
figure;  
hold on;  
step(A_tau,B_c*omega_0,C_c,0);
```